

V-22 円孔を有する異方性平板の光弾性実験

京都大学 正員 丹羽 義次
熊本大学 正員 ○川 本 肇万

直交異方性平板の応力測定としては、林毅氏¹⁾、ボリエスティル樹脂とガラスクロスを組合せた透明な異方性材料を用いた光弹性実験法や、林卓天氏²⁾の歩板の基本異方性板に対する実験結果を科学的に処理して任意の異方特性を持つ板の平面応力を求めた方法等が発表されている。こゝでは光弹性被膜法の直交異方性板への適用について述べ、測定上有る異方性平板について光弹性実験を行った結果について述べる。光弹性被膜法は 1930 年に M. Mesnager によって提案され、最近になって塑性領域の物体のひずみ状態を測定する目的で多く研究者によつて改良研究が行われてゐるが、本邦園木河田氏が実施した塑性実験法と、詳細に紹介³⁾し、とくに光弹性被膜材料と即ち epoxy-polysulfide 系高分子体(通稱 epoxy rubber)の特徴に関する研究結果を報告してある。この方法は光弹性材料、塗料等の薄板を不透明な下地材料の表面に接着し、その下地材料のひずみ状態をそれに対応した光弹性被膜に移し、同時に下地材料の表面を以て黒色の下面にうかられた金属端子の反射によって光弹性被膜の応力をうる方法である。

充弹性被膜上生ずる等色縮り $\rightarrow \sigma_1 = \sigma_2 <$ 下地材料の応力を求めるに可供である。
一般に下地材料の一隻に生ずる主応力の方向が同一に示す二つと弹性主軸 (x , 車輪方向) と傾斜し、主応力 σ_1 の方向が x 軸と直角を θ とする、主ひずみは $\epsilon_1 = \epsilon_2 <$ 主応力 (σ_1, σ_2) に等しいとする。

(12) - 1

$$\left. \begin{aligned} \varepsilon_i &= \left\{ \frac{1}{E_x} \cos^4 \varphi + \frac{1}{E_y} \sin^4 \varphi - \left(\frac{2 \nu_x}{E_x} - \frac{1}{G_{xy}} \right) \cos^2 \varphi \sin^2 \varphi \right\} \sigma_1 \\ &\quad + \left[\frac{-\nu_x}{E_x} + \left\{ \frac{1}{E_x} + \frac{1}{E_y} + \left(\frac{2 \nu_x}{E_x} - \frac{1}{G_{xy}} \right) \right\} \cos^2 \varphi \sin^2 \varphi \right] \sigma_2 \\ \varepsilon_x &= \left[-\frac{\nu_x}{E_x} + \left\{ \frac{1}{E_x} + \frac{1}{E_y} + \left(\frac{2 \nu_x}{E_x} - \frac{1}{G_{xy}} \right) \right\} \cos^2 \varphi \sin^2 \varphi \right] \sigma_1 \\ &\quad + \left\{ \frac{1}{E_x} \sin^4 \varphi + \frac{1}{E_y} \cos^4 \varphi - \left(\frac{2 \nu_x}{E_x} - \frac{1}{G_{xy}} \right) \cos^2 \varphi \sin^2 \varphi \right\} \sigma_2 \end{aligned} \right\} \quad (1)$$

しかし自由境界における $T_1 = 0$ よりも $T_2 = 0$ の方がから、いま $T_2 = 0$ とすれど、下地材料の自由境界での主ひずみ差は ε_{12}^0 のようになら。

$$(\varepsilon_1 - \varepsilon_2)_M = \left[\frac{1}{Ex} \left\{ \frac{1}{2} (1 + 2\nu_x) \cos^2 2\varphi + \frac{1}{2} \cos 2\varphi \right\} - \frac{1}{Ey} \cdot \frac{(1 - \cos 2\varphi) \cos 2\varphi}{2} + \frac{1}{G_{xy}} \cdot \frac{\sin^2 2\varphi}{2} \right] \sigma_{IM} \quad (2)$$

一方腫脹の主な原因は、 $(\varepsilon_1 - \varepsilon_2)$ 、すなはち二つの弾性率の差である。

$$(\varepsilon_i - \varepsilon_x)_c = \frac{1 + \nu_c}{\varepsilon_c} (\sigma_i - \sigma_x)_c \quad (3)$$

被膜と下地材料との接着が完全であり、被膜の厚みが充分、ひずみの分布の傾斜に対しても、被膜のひずみ状態は完全に下地材料表面のそれに等しいと考えられるから、 $(\varepsilon_1 - \varepsilon_2)_M = (\varepsilon_1 - \varepsilon_2)_C$ ……(4) 式をうる。下地材料表面の反射によって被

膜を2度通過する偏光の示す光弹性倍率 α , α (cm²/kg) は光弹性感度 K と定め,
 $N = 2\alpha(\sigma_1 - \sigma_2)_c t$

(5)

であるから, (5)式を考慮し(2)(4)式と(2), (3)式を代入すれば, 自由境界における主応力 σ_{IM}
 は次式のことく光弹性倍率より求められる。ただし $c = 0$ の場合近似式 $\frac{1}{G_{xy}} = \frac{1}{E_x} + \frac{1}{E_y}$
 $+ 2\nu_x/E_x$ が用いられる。また $K = \alpha E_c / (1 + \nu_c)$ となる。

$$\sigma_{IM} = \frac{1}{\{(1+2\nu_x)\cos^2 2\phi + \cos 2\phi\} - \frac{1}{6}(1-\cos 2\phi)\cos 2\phi + (1+\nu_e + 2\nu_x)\sin^2 2\phi} \cdot \frac{N}{tK/E_x} \quad (6)$$

K は使用する被膜に対する定数の値である。また E は主弾性係数比 $e = E_y/E_x$ である。
 いま $\nu_x = 0.18$ (実験に用いた複合材の測定値) とおいて(6)式右辺の最初の方を計算して、
 図示すれば図-2 のようになる。

直交異方性材料は、型枠内に金属網(鋼板)の上に真鍮)を
 一方向に規則正しく入れ、その中にエボキシ樹脂を注入成型
 してからされた。この異方性材料の種々の試験片により引張
 試験を行って、材料の弾性係数 E と ν と α を測定した
 ため、全断面積に対する金属網の占める割合が大きくなるほど
 金網材料と之の接着部とが一致しないことが判った。
 これがつてその複合材を注型するときには、一定の成
 分比(2)の計算によって金属網の直径 δ と ν を決定した。

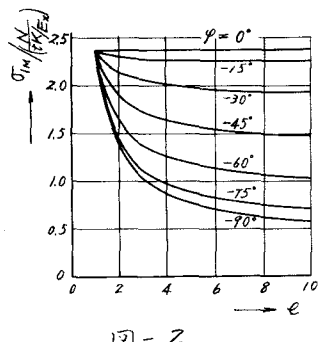
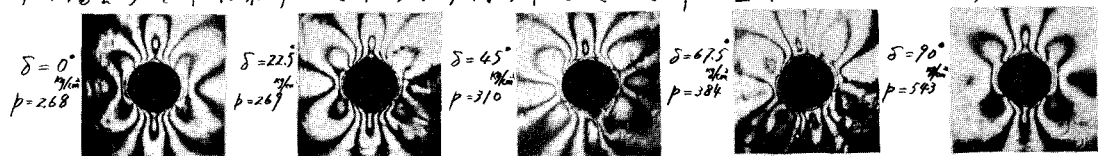


図-2

光弹性被膜と之の epoxy rubber の共重合比が重量比 e epoxy prepolymer (Araldyte Type D) : 100, polysulfide : 50, diethylene triamine : 8 である。室温に用いた被膜の特性は、弾性係数 $E_c = 5500$ kg/cm² (15°C), $\alpha = 0.261$ cm²/kg (11°C), $\nu_c = 0.40$ (15°C) である。polysulfide の性質が安定なことから、 epoxy rubber の特性が温度に対する変化(1)やすべりなどのために、測定期の被膜に対する保有 K に誤差の入ることの恐れがある。

成型された異方性材料より正方形板を切り出し、その表面に錫箔および被膜とエボキシ樹脂で接着し、接着が完了した後その中心に 12 mm の円孔を打って複型を作った。
 複型は $e = 2, 4, 6, 8$ の 1:3T(2, 3 倍)と金網線の方向(E_x の方向)に荷重線(水平方向)に対して $\delta = 0^\circ, 22.5^\circ, 45^\circ, 67.5^\circ, 90^\circ$ 傾斜した状態で作用させ、それらに等分布荷重を作用させ反射式光弹性装置による内孔周辺の等色線図を撮影した。その 1 例 ($E_y/E_x = 4$ の場合) を下に示す。これらより得られた各方位分布状態については後述する。



1) 林毅: 直交異方性材料の光弹性実験法と、二つの試験結果について、応力連合講演会前編、p.59

2) 林卓夫: 等価異方性板を用いた平面応力の実験、日本機械学会論文集 26巻 170号、p.120

3) 河田幸三: 構造要素の降伏の実物光弹性学的研究、p.1-5、東京大学航空研究所集報、1959.9